

Revisão de Mecânica Quântica

Aula do MNPEF - Polo 41

Evy A. Salcedo Torres

24 de fevereiro de 2025

Equação de Schrödinger

Schrödinger ataca o problema desde uma nova perspectiva (usando mecânica de Hamilton e a Ótica), e obtém uma nova expressão dada por ([ver explicação](#))

$$i\hbar \frac{\partial \Psi}{\partial t} = -\frac{\hbar^2}{2m} \nabla^2 \Psi + V\Psi$$

nesta expressão (como na anterior) Ψ é a função de onda ou amplitude de probabilidade, $\hbar = h/2\pi$, $V(x, t)$ é a energia potencial à qual a partícula está sujeita.

Equação de Schrödinger - Partícula livre

Seja $V(x, t) = 0$

$$\Psi(x, t) = \phi(x)\psi(t)$$

substituindo na equação de Schrödinger obtemos

$$i\hbar\phi\frac{d\psi}{dt} = -\frac{\hbar^2}{2m}\psi\frac{d^2\phi}{dx^2}$$
$$i\hbar\frac{1}{\psi}\frac{d\psi}{dt} = -\frac{\hbar^2}{2m}\frac{1}{\phi}\frac{d^2\phi}{dx^2}$$

seja

$$i\hbar\frac{1}{\psi}\frac{d\psi}{dt} = E$$

$$\psi(t) = C_1 e^{-iEt/\hbar}$$

$$\frac{d^2\phi}{dx^2} + \frac{E\hbar^2}{2m}\phi = 0$$

$$\phi(x) = A'e^{i\frac{\sqrt{2mE}x}{\hbar}} + B'e^{-i\frac{\sqrt{2mE}x}{\hbar}}$$

juntando

$$\Psi(x, t) = A \exp\left[\frac{i}{\hbar}\left(\sqrt{2mE}x - Et\right)\right]$$
$$+ B \exp\left[-\frac{i}{\hbar}\left(\sqrt{2mE}x - Et\right)\right]$$

Comparando com a equação de uma onda

$$\Psi(x, t) = A \exp(kx - \omega t)$$
$$+ B \exp(-kx - \omega t)$$

Equação de Schrödinger - Partícula livre

Comparando as equações anteriores

$$\begin{aligned}k &= \frac{\sqrt{2m E}}{\hbar} \\ \frac{2\pi}{\lambda} &= 2\pi \frac{\sqrt{2m E}}{h} \\ \lambda &= \frac{h}{\sqrt{2m E}}\end{aligned}$$

como a partícula é livre,
 $E = K = 1/2 m v_x^2$, então

$$\begin{aligned}\lambda &= \frac{h}{\sqrt{2m \frac{1}{2} m v_x^2}} \\ &= \frac{h}{m v_x} \\ &= \frac{h}{p_x}\end{aligned}$$

continuando com a comparação

$$\begin{aligned}\omega &= \frac{E}{\hbar} \\ 2\pi\nu &= \frac{2\pi E}{h} \\ \nu &= \frac{E}{h}\end{aligned}$$

Interpretação da função de onda

Max Born propõe interpretar o quadrado da função de onda como sendo uma probabilidade, especificamente

$$P(x) dx = \Psi^*(x, t)\Psi(x, t)$$

representa a probabilidade de uma partícula entre x e $x + dx$, assim, a probabilidade da partícula estar entre x_1 e x_2 é dada por

$$P(x) = \int_{x_1}^{x_2} \Psi^*(x, t)\Psi(x, t) dx$$

além disso a função de onda deve ser normalizada uma vez que a sabemos com total confiança que a partícula estará dentro do intervalo $(-\infty, \infty)$, ou seja

$$\int_{-\infty}^{\infty} \Psi^*(x, t)\Psi(x, t) dx = 1$$

Propriedades da função de onda

Dadas o fato de $P(x) dx = \Psi^*(x, t)\Psi(x, t)$ a função Ψ dever verificar certas características para que o resultado dos cálculos sejam fisicamente realista.

- $\Psi(x)$ deve ser finita $\forall x$
- $\Psi(x)$ deve ser mono valuada
- $\Psi(x)$ deve ser suave
- $\Psi(x)$, $\Psi'(x)$ e $\Psi''(x)$ devem existir e serem contínuas (pelo menos fora do pontos em que $V(x) \rightarrow \infty$)
- $\Psi'(x) \rightarrow 0$ se $V(x) \rightarrow \infty$

Equação de Schrödinger independente do tempo

Na solução da partícula livre aplicamos o método de separação de variáveis, se V não é função do tempo podemos aplicar o mesmo método de solução

$$\begin{aligned}-\frac{\hbar^2}{2m} \frac{\partial^2}{\partial x^2} \Psi(x, t) + V(x) \Psi(x, t) &= i\hbar \frac{\partial}{\partial t} \Psi(x, t) \\ -\frac{\hbar^2}{2m} \frac{\partial^2}{\partial x^2} [\psi(x)\phi(t)] + V(x) [\psi(x)\phi(t)] &= i\hbar \frac{\partial}{\partial t} [\psi(x)\phi(t)] \\ -\frac{\hbar^2}{2m} \frac{1}{\psi} \frac{d^2\psi}{dx^2} + V(x) &= i\hbar \frac{1}{\phi} \phi \frac{d\phi}{dt}\end{aligned}$$

Igualando a E (uma constante), a equação que depende unicamente de t resulta em

$$i\hbar \frac{1}{\phi} \phi \frac{d\phi}{dt} = E$$

de onde

$$\phi(t) = e^{iEt/\hbar}$$

Equação de Schrödinger independente do tempo

Enquanto que

$$\begin{aligned} -\frac{\hbar^2}{2m} \frac{1}{\psi} \frac{d^2\psi}{dx^2} + V(x) &= E \\ -\frac{\hbar^2}{2m} \frac{d^2\psi}{dx^2} + V(x) \psi &= E\psi \end{aligned}$$

resulta na chamada equação do Schrödinger independente do tempo, note que

$$\begin{aligned} \Psi^*(x, t) \Psi(x, t) &= \left[\psi e^{iEt/\hbar} \right]^* \left[\psi e^{iEt/\hbar} \right] \\ &= \psi^*(x) \psi(x) \end{aligned}$$

e

$$\int_{-\infty}^{\infty} \psi^*(x) \psi(x) = 1$$

Equação de Schrödinger independente do tempo

Antes de continuar devemos advertir que o método de separação de variáveis só pode ser aplicado no caso em que o potencial, $V(x)$ não dependa explicitamente do tempo; em nesses termos que se obtém a densidade de probabilidade

$$\Psi^*(x, t)\Psi(x, t) = \psi^*(x)\psi(x) = \psi^2(x)$$

que independe do tempo. A os estados que se obtém nessas condições são chamados de **estados estacionarios**

Postulados da Mecânica Quântica

A função de onda

O estado de um sistema é descrito tanto quanto possível pela função de onda Ψ .

A interpretação de Born

Para um sistema descrito pela função de onda, $\Psi(\mathbf{r})$, a probabilidade de encontrar a partícula no elemento de volume dV , a uma distância \mathbf{r} é proporcional a $\Psi^2 dV$

Operadores em mecânica quântica

Para cada propriedade observável, H , de um sistema, existe um operador \hat{H} . No caso de observáveis que dependam da posição e o momento, os operadores correspondentes serão construído a partir dos operadores de posição e momento:

$$\hat{x} = x, \quad \hat{p} = \frac{\hbar}{i} \frac{\partial}{\partial x}$$

Postulados da Mecânica Quântica

Valores próprios e funções próprias

Se o sistema é descrito por um função ψ que é uma função própria de \hat{H} tal que

$$\hat{H}\psi = E\psi$$

então o resultado da medição de H devera ser o valor próprio E

Superposição e valores esperados

Quando o valor de um observável H é medido para um sistema que é descrito a traves de uma combinação linear de funções próprias de \hat{H} com coeficientes c_k

$$\psi = \sum_n c_n \psi_n$$

cada medida da um dos valores próprios E_k de \hat{H} terá probabilidade $|c_k|^2$

Medida Mecânica Quântica e valores esperados

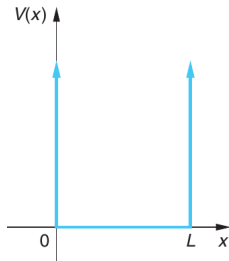
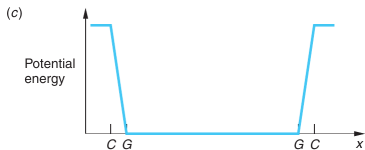
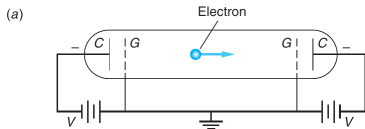
O valor esperado para a grandeza $f(x)$ é dado por

$$\begin{aligned}\langle f(x) \rangle &= \int_{-\infty}^{\infty} f(x) P(x) dx \\ &= \int_{-\infty}^{\infty} f(x) |\psi(x)|^2 dx \\ &= \int_{-\infty}^{\infty} \psi^*(x) f(x) \psi(x) dx\end{aligned}$$

Alguns operadores comuns da Mecânica Quântica

Symbol	Physical quantity	Operator
$f(x)$	Any function of x —e.g., the position x , the potential energy $V(x)$, etc.	$f(x)$
p_x	x component of momentum	$\frac{\hbar}{i} \frac{\partial}{\partial x}$
p_y	y component of momentum	$\frac{\hbar}{i} \frac{\partial}{\partial y}$
p_z	z component of momentum	$\frac{\hbar}{i} \frac{\partial}{\partial z}$
E	Hamiltonian (time independent)	$\frac{p_{op}^2}{2m} + V(x)$
E	Hamiltonian (time dependent)	$i \hbar \frac{\partial}{\partial t}$
E_k	kinetic energy	$-\frac{\hbar^2}{2m} \frac{\partial^2}{\partial x^2}$
L_z	z component of angular momentum	$-i \hbar \frac{\partial}{\partial \phi}$

Exemplo - Poço infinito



$$V(x) = \begin{cases} 0 & 0 < x < L \\ \infty & 0 \geq x \wedge x \geq L \end{cases}$$

Exemplo - Poço infinito

Fora da caixa, $V(x) = \infty \Rightarrow \phi(x) = 0$. Dentro da caixa $V(x) = 0$ então a equação de Schrödinger

$$-\frac{\hbar^2}{2m} \frac{d^2\psi}{dx^2} = E\psi$$

a solução dessa EDO

$$\phi(x) = C_1 \sin\left(\sqrt{\frac{2mE}{\hbar^2}}x\right) + C_2 \cos\left(\sqrt{\frac{2mE}{\hbar^2}}x\right)$$

aplicando condições de contorno

$$\psi_n(x) = C_1 \sin\left(\frac{n\pi}{L}x\right)$$

$$E_n = \frac{n^2 \hbar^2}{8m}$$

Normalizando a função de onda

$$\int_{-\infty}^{\infty} \psi_n^* \psi_n dx = 1 \Rightarrow C_1 = \sqrt{\frac{2}{L}}$$

$$\psi_n(x) = \sqrt{\frac{2}{L}} \sin\left(\frac{n\pi}{L}x\right)$$

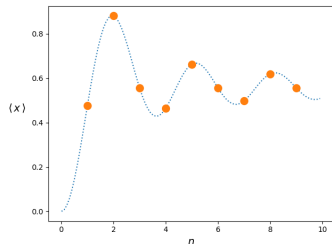
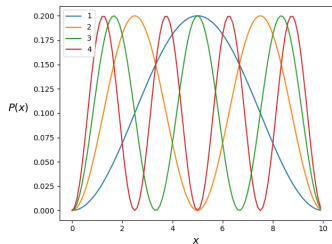
Exemplo - Poço infinito

$$\begin{aligned}\langle x \rangle &= \int_0^L \psi_n^* x \psi_n dx \\&= \frac{2}{L} \int_0^L x \sin^2 \left(\frac{n\pi}{L} x \right) dx \\&= \frac{1}{L} \int_0^L x dx - \frac{1}{L} \int_0^L x \cos \left(\frac{2n\pi}{L} x \right) dx \\&= \frac{1}{L} \int_0^L x dx - \frac{1}{4n\pi} x \sin \left(\frac{2n\pi}{L} x \right) \Big|_0^L + \frac{1}{4n\pi} \int_0^L \sin \left(\frac{2n\pi}{L} x \right) dx \\&= \frac{1}{2L} x^2 \Big|_0^L - \frac{1}{4n\pi} x \sin \left(\frac{2n\pi}{L} x \right) \Big|_0^L + \frac{L}{8n^2\pi^2} \int_0^{2n\pi} \sin u du \\&= \frac{L}{2} - \frac{L}{4n\pi} \sin(2n\pi) + \frac{L}{8n^2\pi^2} [1 - \cos(2n\pi)] \\&= L/2\end{aligned}$$

Exemplo - Poço infinito

Qual é a probabilidade de encontrar o elétron entre $x = 0$ e $x = L/3$?

$$\begin{aligned}\langle x \rangle &= \int_0^{L/3} \psi_n^* x \psi_n dx \\&= \frac{2}{L} \int_0^{L/3} x \sin^2 \left(\frac{n\pi}{L} x \right) dx \\&= \frac{1}{L} \int_0^{L/3} x dx - \frac{1}{L} \int_0^{L/3} x \cos \left(\frac{2n\pi}{L} x \right) dx \\&= \frac{1}{L} \int_0^{L/3} x dx - \frac{1}{2n\pi} x \sin \left(\frac{2n\pi}{L} x \right) \Big|_0^{L/3} + \\&\quad \frac{1}{2n\pi} \int_0^{L/3} \sin \left(\frac{2n\pi}{L} x \right) dx \\&= \frac{1}{2L} x^2 \Big|_0^{L/3} - \frac{1}{2n\pi} x \sin \left(\frac{2n\pi}{L} x \right) \Big|_0^{L/3} + \\&\quad \frac{L}{4n^2\pi^2} \int_0^{2n\pi/3} \sin u du \\&= \frac{L}{18} - \frac{L}{6n\pi} \sin \left(\frac{2}{3} n\pi \right) + \\&\quad \frac{L}{4n^2\pi^2} \left[1 - \cos \left(\frac{2}{3} n\pi \right) \right]\end{aligned}$$



Simulação no QuVis

Exemplo - Poço infinito

$$\begin{aligned}\langle p_x \rangle &= \frac{\hbar}{i} \int_0^L \psi_n^* \frac{\partial}{\partial x} \psi_n dx \\&= \frac{2\hbar}{iL} \int_0^L \sin\left(\frac{n\pi}{L}x\right) \frac{\partial}{\partial x} \left[\sin\left(\frac{n\pi}{L}x\right) \right] dx \\&= \frac{2\hbar}{iL} \frac{n\pi}{L} \int_0^L \sin\left(\frac{n\pi}{L}x\right) \frac{\partial}{\partial x} \cos\left(\frac{n\pi}{L}x\right) dx \\&= 0\end{aligned}$$

Exemplo - Poço infinito

$$\langle p_x^2 \rangle = \frac{\hbar}{i} \int_0^L \psi_n^* \left(\frac{\hbar}{i} \frac{\partial}{\partial x} \right)^2 \psi_n dx$$

$$\begin{aligned} \left(\frac{\hbar}{i} \frac{\partial}{\partial x} \right)^2 \psi_n &= -\hbar^2 \left(\frac{\partial}{\partial x} \right) \left(\frac{\partial}{\partial x} \right) \psi_n \\ &= -\hbar^2 \frac{2}{L} \left(\frac{\partial}{\partial x} \right) \left(\frac{\partial}{\partial x} \right) \sin \left(\frac{2n\pi}{L} x \right) \\ &= -\hbar^2 \frac{2}{L} \frac{n\pi}{L} \left(\frac{\partial}{\partial x} \right) \cos \left(\frac{n\pi}{L} x \right) \\ &= \hbar^2 \frac{n^2 \pi^2}{L^2} \frac{2}{L} \sin \left(\frac{n\pi}{L} x \right) \\ &= \hbar^2 \frac{n^2 \pi^2}{L^2} \psi_n \end{aligned}$$

assim

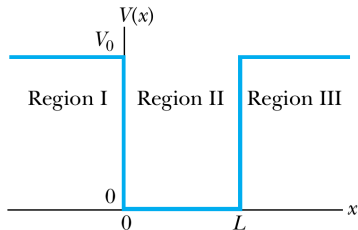
$$\begin{aligned} \langle p_x^2 \rangle &= \hbar^2 \frac{n^2 \pi^2}{L^2} \int_0^L \psi_n^* \psi_n dx \\ &= \frac{n^2 \hbar^2 \pi^2}{L^2} \\ &= \frac{n^2 \hbar^2}{4L^2} \end{aligned}$$

Exemplo - Poço infinito

- Devemos ter claro o nosso resultado, para uma dada função de onda ψ_n , temos uma energia E_n associada. Isso significa que se nos prepararmos o sistema de forma tal que $\Psi = \psi_n$ então o resultado da medida será E_n e isso acontecerá sempre que nos prepararmos o sistema nesse estado.
- As funções de onda que a partícula pode assumir não se restringem a ψ_n , é possível preparar o sistema em estados que são uma combinação linear dos estados ψ_n .
- Se prepararmos o sistema numa combinação de estados, por exemplo $\Psi = \frac{1}{\sqrt{2}}(\psi_1 + \psi_2)$ não mas teremos certeza sobre o valor de energia que resultará numa medida, só sabemos que teremos uma probabilidade de 0,5 de obter E_1 e 0,5 de obter E_2
- Note que não obtivemos ψ_0 , ou seja, o menor valor de energia que o sistema pode assumir é E_1 , isso está relacionado ao fato de que se a partícula não pode ter zero energia (cinética) pois isso implicaria que estaria parada em algum lugar e com momento zero, isso seria uma violação ao princípio de incerteza. Este tipo de comportamento (energia de ponto zero) acontece em todos os sistemas confinados.

Exemplo - Poço Finito

$$V(x) = \begin{cases} V_0 & 0 \leq x \\ 0 & 0 < x < L \\ V_0 & 0 \leq x \end{cases} \quad \begin{array}{l} \text{região I} \\ \text{região II} \\ \text{região I} \end{array}$$



Para as regiões I e III a equação de Schrödinger assume a forma

$$-\frac{\hbar}{2m} \frac{1}{\psi} \frac{d^2\psi}{dx^2} = E - V_0$$

Utilizando $\alpha^2 = 2m(V_0 - E)/\hbar$,
podemos reescrever

$$d^2\psi/dx^2 = \alpha^2\psi$$

Levando em consideração o fato de
que $\psi \rightarrow 0$ para $x \leq 0$ e $x \geq L$,
propomos como solução

$$\begin{array}{lll} \psi_I(x) = Ae^{\alpha x} & 0 \leq x & \text{região I} \\ \psi_{II}(x) = Be^{-\alpha x} & x \geq L & \text{região III} \end{array}$$

Exemplo - Poço Finito

Dentro do poço de potencial, onde $V(x) = 0$, a equação da onda é

$$d^2\psi/dx^2 = -k^2\psi, \quad k = \sqrt{(2mE)/\hbar^2}$$

como solução propomos

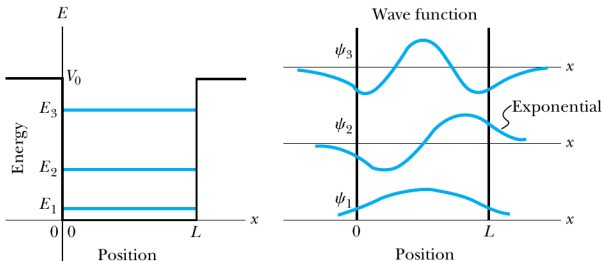
$$\psi_{II}(x) = Ce^{ikx} + De^{-ikx}, \quad 0 < x < L$$

As condições de contorno que devem ser satisfeitas são

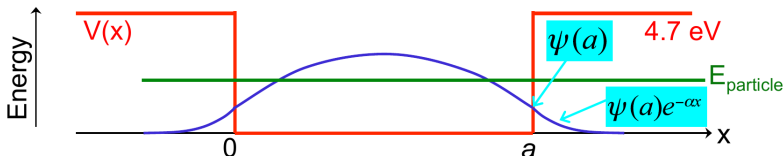
$$\psi_I(0) = \psi_{II}(0) \quad \text{e} \quad \psi_{II}(L) = \psi_{II}(L)$$

O que resulta numa função de onda contínua nas fronteiras.

Note que ψ não é zero fora da caixa



Exemplo - Poço Finito

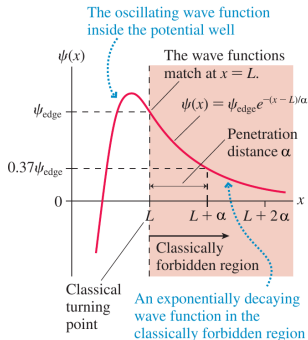


Observe que

$$\lambda = \frac{1}{\alpha} = \frac{\hbar}{\sqrt{2m(V_0 - E)}}$$

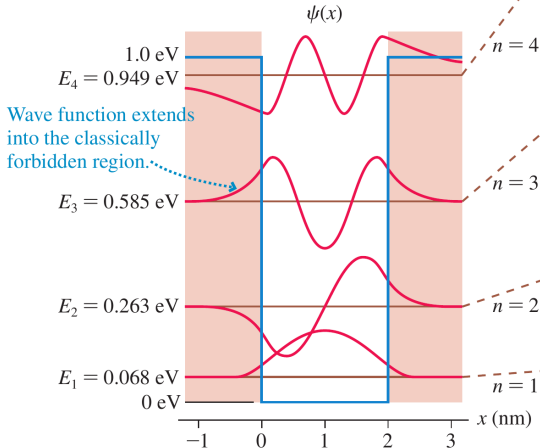
é uma medida da profundidade de penetração dentro da região proibida. Em essa distância $\psi(x)$ se reduz por um fator $1/e$.

Como exemplo consideremos um elétron com $4,7 \text{ eV}$, nesse caso a profundidade de penetração é só de 10^{-10} m (tamanho de um átomo)

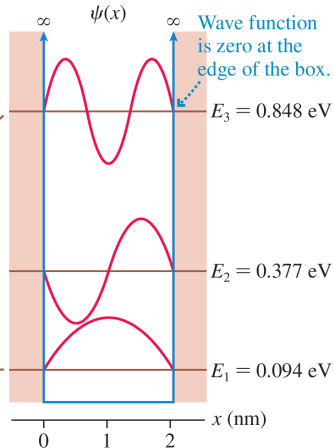


Exemplo - Comparação do Poço Infinito com o Finito

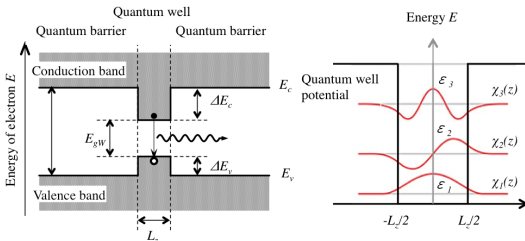
(a) Finite potential well



(b) Particle in a rigid box



Exemplo - LASER de estado sólido

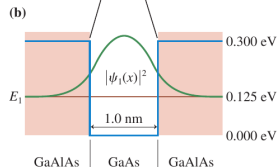
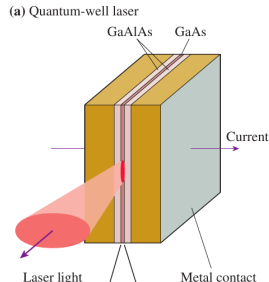


$$v_{rms} = \sqrt{\frac{3k_b T}{m}} \approx 1 \times 10^5 \text{ m/s}$$

$$\lambda \approx \frac{h}{mv_{rms}} \approx 7 \text{ nm}$$

Efeitos quânticos acontecem para sistemas da ordem de 7 nm ou menos (na real até 100 nm ou menos)

Poços quânticos permitem construir “átomos” artificiais, isto é, ter controle nos nível de energia.



No poço acima, $GaAlAs$, $GaAs$, $GaAlAs$, $V_0 = 0, 3eV$ e $L = 1,0nm$ resulta em um único nível de energia.

Exemplo - Núcleo atômico

Modelemos o núcleo com $L = 8$ (próximo ao argon ou potássio) e $V_0 = 50 \text{ MeV}$. Consideremos um nêutron excitado em $n = 3$, da figura vemos que

$$\begin{aligned} E_{\text{fóton}} &= E_3 - E_1 \\ &= 19,1 \text{ MeV} \end{aligned}$$

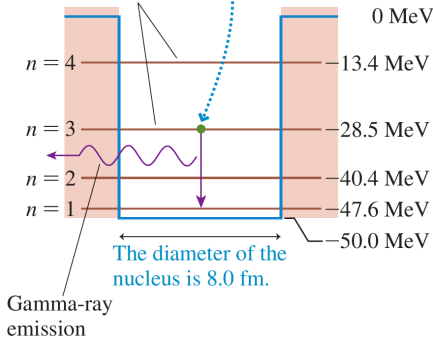
de onde

$$\lambda = \frac{c}{f} = \frac{hc}{E_{\text{fóton}}} = 6,5 \times 10^{-5} \text{ nm}$$

o que corresponde a fótons na região da radiação Gamma.

A radioactive decay has left the neutron in the $n = 3$ excited state. The neutron jumps to the $n = 1$ ground state, emitting a gamma-ray photon.

Energy levels of a neutron in the nucleus



Três dos quatro níveis energéticos permitidos dentro de um poço de potencial nuclear

O oscilador harmônico Quântico

Suponhamos $V(x) = \frac{1}{2}kx^2 = \frac{1}{2}m\omega^2 x^2$,
então

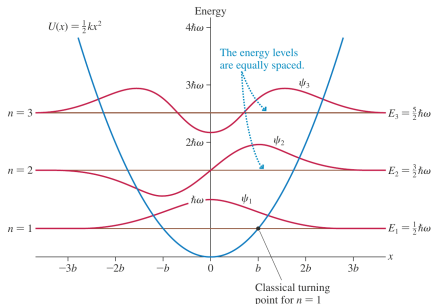
$$-\frac{\hbar^2}{2m} \frac{\partial^2 \psi}{\partial x^2} + \frac{1}{2}m\omega^2 x^2 \psi = E\psi$$

a qual pode ser resolvida e obtermos

$$E_n = \left(n + \frac{1}{2}\right) \hbar\omega, \quad n = 0, 1, 2, \dots$$

de onde temos a energia de ponto zero
dada por $E_0 = \frac{1}{2}\hbar\omega$, enquanto que as
funções de onda são dadas por

$$\psi_n(x) = C_n e^{-m\omega x^2/2\hbar} H_n(x)$$

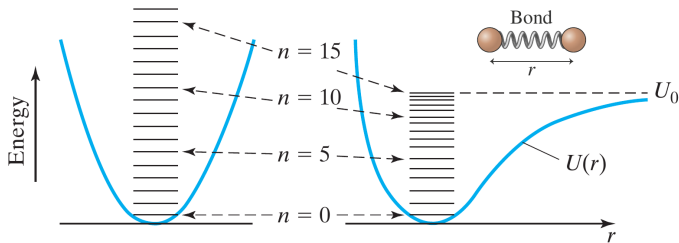


Pode ser mostrada a seguinte regra de
seleção para as transições entre estados

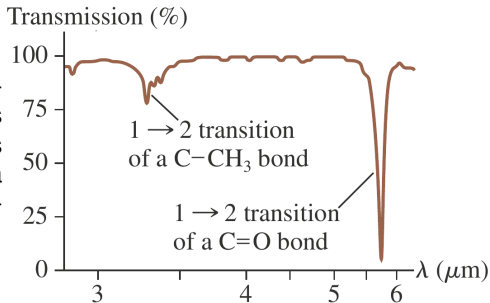
$$\int_{-\infty}^{\infty} \psi_n x \psi_m dx = 0 \quad \text{a menos que}$$
$$n = m \pm 1$$

ou $\Delta n = \pm 1$

O oscilador harmônico Quântico



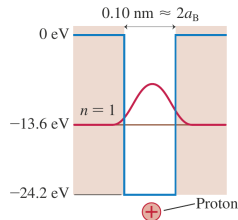
Espectro de absorção da acetona. Acontece na região infravermelha. Temos duas transições correspondente a transições dos estados $1 \rightarrow 2$, uma corresponde a vibração $C - CH_3$ em $\lambda = 3,3 \text{ cm}$, e outra $C = O$ em $\lambda = 5,8 \text{ cm}$



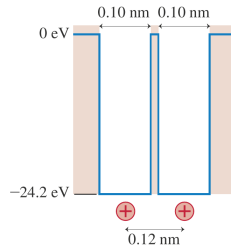
Exemplo - Ligação covalente

Uma aproximação ao átomo de hidrogênio é via um potencial quadrado com profundidade de $V_0 = -24,2 \text{ eV}$ e $L = 2a_B$. Essa escolha resulta em um primeiro estado excitado de $E_1 = E_{0B} = -13,6 \text{ eV}$

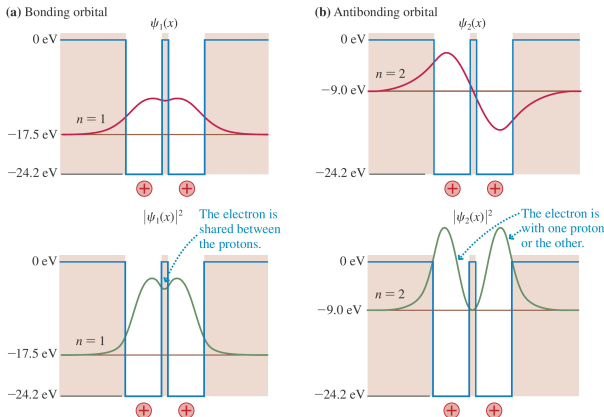
(a) Simple one-dimensional model of a hydrogen atom



(b) An H_2^+ molecule modeled as an electron with two protons separated by 0.12 nm



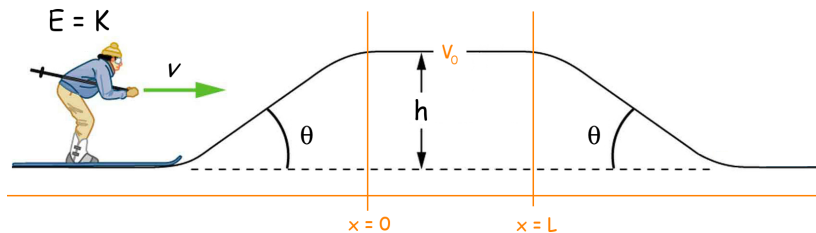
Exemplo - Ligação covalente



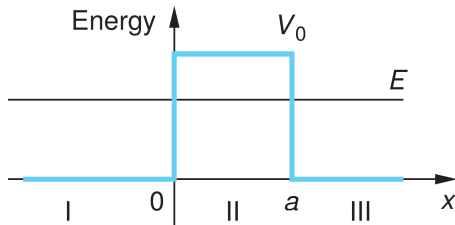
$$E_{mol} = E_{p-p} + E_{elec} = \begin{cases} 12,0\text{eV} - 17,5\text{eV} & = -5,5\text{eV} & n = 1 \\ 12,0\text{eV} - 9,0\text{eV} & = +3,0\text{eV} & n = 2 \end{cases}$$

Note que a energia para $n = 1$ é negativa (sistema ligado) enquanto que para $n = 2$ é positivo (não ligado)

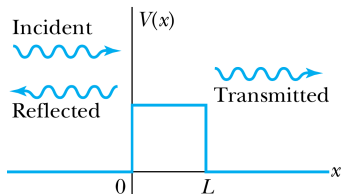
Barreira de Potencial



Considere uma partícula com energia E se aproximando de uma barreira de potencial com altura V_0 , sendo que qualquer outro lugar o potencial é zero.



Barreira de Potencial, $E > V_0$



$$\psi(x) = \begin{cases} Ae^{ik_1x} + Be^{-ik_1x} & x < 0 \\ Ce^{ik_2x} + De^{-ik_2x} & 0 < x < L \\ Ge^{-ik_1x} & x > L \end{cases}$$

onde

$$k_1 = \sqrt{\frac{2m_p E}{\hbar^2}}$$

$$k_2 = \sqrt{\frac{2m_p (E - V_0)}{\hbar^2}}$$

$$\begin{aligned} \text{I} \quad V = 0 \quad & \frac{d^2 \psi_1}{dx^2} = -\frac{2m_p E}{\hbar^2} \psi_1 \\ \text{II} \quad V = V_0 \quad & \frac{d^2 \psi_2}{dx^2} = -\frac{2m_p E}{\hbar^2} (E - V_0) \psi_2 \\ \text{III} \quad V = 0 \quad & \frac{d^2 \psi_3}{dx^2} = -\frac{2m_p E}{\hbar^2} \psi_3 \end{aligned}$$

O coeficiente de reflexão e Transmissão são dados por

$$R = \frac{|\psi_1(\text{refletida})|^2}{|\psi_1(\text{incidente})|^2} = \frac{B \cdot B}{A \cdot A}$$

$$T = \frac{|\psi_1(\text{transmitida})|^2}{|\psi_1(\text{incidente})|^2} = \frac{G \cdot G}{A \cdot A}$$

$$T_{E>V} = \left[1 + \frac{V_0^2 \sin^2(k_2 L)}{4E(E - V_0)} \right]^{-1}$$

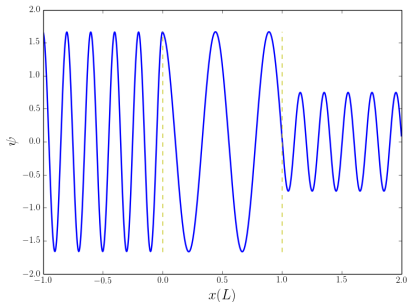
Barreira de Potencial, $E > V_0$

$$\psi(x) = \begin{cases} Ae^{ik_1x} - \frac{\beta_L^*}{\alpha_L^*} Ae^{-ik_1x} & x < 0 \\ A \left[\left(1 - \frac{\beta_L^*}{\alpha_L^*} \right) \cos k_2x + i \frac{k_1}{k_2} \left(1 + \frac{\beta_L^*}{\alpha_L^*} \right) \sin k_2x \right] & 0 < x < L \\ \frac{A}{\alpha_L^*} e^{ik_1(x-L)} & x > L \end{cases}$$

com

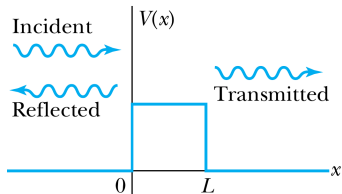
$$\alpha_L = \cos k_2L + i \frac{k_1^2 + k_2^2}{2k_1k_2} \sin k_2L$$

$$\beta_L = -i \frac{k_1^2 - k_2^2}{2k_1k_2} \sin k_2L$$



$$V_0 = 0,3eV, K = 5V_0/4 \text{ e } L = 10 \text{ nm}$$

Barreira de Potencial, $E < V_0$



$$\begin{aligned} \text{I} \quad V &= 0 & \frac{d^2\psi_1}{dx^2} &= -\frac{2m_p E}{\hbar^2} \psi_1 \\ \text{II} \quad V &= V_0 & \frac{d^2\psi_2}{dx^2} &= -\frac{2m_p E}{\hbar^2} (E - V_0) \psi_2 \\ \text{III} \quad V &= 0 & \frac{d^2\psi_3}{dx^2} &= -\frac{2m_p E}{\hbar^2} \psi_3 \end{aligned}$$

$$\psi(x) = \begin{cases} Ae^{ik_1x} + Be^{-ik_1x} & x < 0 \\ Ce^{ik_2x} + De^{-ik_2x} & L < x < 0 \\ Ge^{ik_2x} + He^{-ik_1x} & x > L \end{cases}$$

Os coeficientes de Transmissão é dados por

$$T_{E < V} = \left[1 + \frac{V_0^2 \sinh^2(k_2 L)}{4E(V_0 - E)} \right]^{-1}$$

onde

$$\begin{aligned} k_1 &= \sqrt{\frac{2m_p E}{\hbar^2}} \\ k_2 &= \sqrt{\frac{2m_p (V_0 - E)}{\hbar^2}} \end{aligned}$$

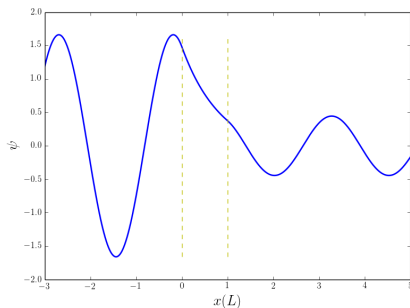
Barreira de Potencial, $E > V_0$

$$\psi_{E < V}(x) = \begin{cases} Ae^{ik_1 x} - \frac{\beta_L^*}{\alpha_L^*} Ae^{-ik_1 x} & x < 0 \\ A \left[\left(1 - \frac{\beta_L^*}{\alpha_L^*} \right) \cosh k_2 x + i \frac{k_1}{k_2} \left(1 + \frac{\beta_L^*}{\alpha_L^*} \right) \sinh k_2 x \right] & 0 < x < L \\ \frac{A}{\alpha_L^*} e^{ik_1 (x-L)} & x > L \end{cases}$$

com

$$\alpha_L = \cosh k_2 L + i \frac{k_1^2 - k_2^2}{2k_1 k_2} \sinh k_2 L$$

$$\beta_L = -i \frac{k_1^2 + k_2^2}{2k_1 k_2} \sinh k_2 L$$



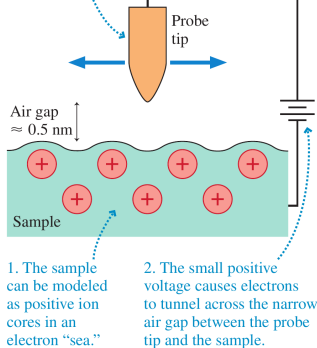
$$V_0 = 0, 3eV, K = 8V_0/10 \text{ e } L = 10 \text{ nm}$$

Aplicação - Microscópio de Tunelamento

(a)

4. An image shows the current as a function of the position of the probe tip, giving a profile of the surface.

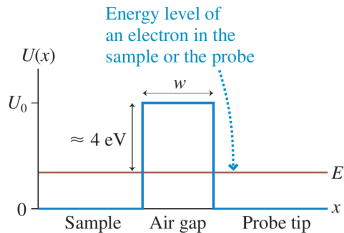
3. The current is monitored as the probe is moved back and forth across the sample.



1. The sample can be modeled as positive ion cores in an electron "sea."

2. The small positive voltage causes electrons to tunnel across the narrow air gap between the probe tip and the sample.

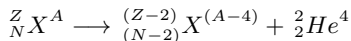
(b)



Em essência consiste de um efeito fotoelétrico no qual a função trabalho é $\Phi \approx 4\text{eV}$. O fóton que é emitido pela ponta na direção da superfície tem energia menor do que 4eV , mas como a largura da barreira (de ar) é fina, os elétrons podem tunelar em direção à ponta.

Aplicação - Decaimento alfa

Uma das aplicações mais impressionantes é a dada por Gamow para explicar o decaimento α dos átomos. O processo consiste no decaimento de núcleos pesados em núcleos menos pesados via a emissão de partículas α , átomos de He^4 . Usando uma notação compacta podemos escrever



onde Z , N , e A são, respectivamente, o número de prótons, nêutrons e o total de nucleões na espécie nuclear denotada por X (o núcleo pai) ou Y (o núcleo filho). Tipicamente o valor das grandezas envolvidas no decaimento α estão dadas por

$$R \sim 2 - 4 F, E_\alpha \sim 2 - 8 \text{ MeV}, \\ Z \sim 50 - 100$$

Átomo de Hidrogênio

Como sabemos o átomo de hidrogênio consiste de um elétron sujeito ao potencial V gerado pelo próton do núcleo, dado por

$$V = -\frac{q^2}{r} \quad q^2 = \frac{e^2}{4\pi\epsilon_0}$$

dessa forma a equação de Schrödinger para o elétron fica escrita como

$$\left[-\frac{\hbar}{2} \left(\frac{1}{m_e} + \frac{1}{m_p} \right) \Delta_r - \frac{\hbar}{2} \frac{1}{m_e + m_p} \Delta_\xi - \frac{q^2}{r} \right] \Phi(r, \xi, t) = i\hbar \frac{\partial \Phi(r, \xi, t)}{\partial t}$$

onde r é a distância entre o elétron e o próton e ξ é a posição do centro de massas e μ é a massa reduzida. Utilizando separação de variáveis

$$\Phi(r, \xi, t) = \Psi(r, t) \mathcal{X}(\xi, t)$$

de onde

$$\begin{cases} \left(-\frac{\hbar}{2\mu} \Delta_r - \frac{q^2}{r} \right) \Psi(r, t) &= i\hbar \frac{\partial \Psi(r, t)}{\partial t} \\ \frac{\hbar}{2M} \Delta_\xi \mathcal{X}(\xi, t) &= i\hbar \frac{\partial \mathcal{X}(\xi, t)}{\partial t} \end{cases}$$

Átomo de Hidrogênio

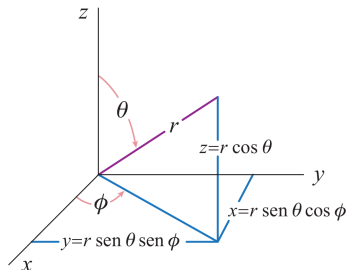
Agora vamos separar a parte temporal da espacial da equação para o elétron (já que V não depende do tempo) utilizando

$$\Psi = \psi(x) e^{-i \frac{E}{\hbar} t}$$

de onde

$$\Delta \psi + \frac{2m}{\hbar^2} \left(E + \frac{q^2}{r} \right) \psi = 0$$

Dada a simetria do problema é adequado trabalhar no sistema de coordenadas esféricas:



$$x = r \cos \theta \sin \phi$$

$$y = r \cos \theta \cos \phi$$

$$z = r \sin \theta$$

O que resulta em

$$\left[\frac{1}{r^2} \frac{\partial}{\partial r} \left(r^2 \frac{\partial}{\partial r} \right) + \frac{1}{r^2 \sin^2 \theta} \frac{\partial^2}{\partial \phi^2} + \frac{1}{r^2 \sin \theta} \frac{\partial}{\partial \theta} \left(\sin \theta \frac{\partial}{\partial \theta} \right) \right] \psi + \frac{2m}{\hbar^2} \left(E + \frac{q^2}{r} \right) \psi = 0$$

Átomo de Hidrogênio - Sol. Angular

Propomos uma primeira separação de variáveis

$$\psi(r, \theta, \phi) = R(r)Y(\theta, \phi)$$

que resulta em uma equação só com a parte radial

$$\frac{d}{dr}r^2\frac{d}{dr} + \frac{2mr^2}{\hbar^2}\left(E + \frac{q^2}{r}\right) = \lambda R$$

e outra só com a parte angular (θ ângulo polar e ϕ ângulo azimutal)

$$\frac{1}{\sin^2\theta}\frac{d^2Y}{d\phi^2} + \frac{1}{\sin\theta}\frac{dY}{d\theta}\left(\sin\theta\frac{dY}{d\theta}\right) = -\lambda Y$$

Para esta equação propomos uma nova separação de variáveis

$$Y(\theta, \phi) = \Theta(\theta)\Phi(\phi)$$

que resulta em

$$\frac{1}{\Theta}\left[\sin\theta\frac{d\Theta}{d\theta}\left(\sin\theta\frac{dY}{d\theta}\right) + \lambda\Theta\sin^2\theta\right] = -\frac{1}{\Phi}\frac{d^2\Phi}{d\phi^2}$$

que nos leva a duas outras EDOs, uma para parte polar

$$\sin\theta\frac{d\Theta}{d\theta}\left(\sin\theta\frac{dY}{d\theta}\right) + \lambda\Theta\sin^2\theta = m^2\Theta$$

e para parte azimutal

$$\frac{d^2\Phi}{d\phi^2} = -m^2\Phi$$

que tem por solução

$$\Phi(\phi) = \frac{1}{\sqrt{2\pi}}\exp(im\phi)$$

onde

$$m \in \mathbb{Z} = 0, \pm 1, \pm 2, \dots$$

é conhecida como número quântico magnético.

Átomo de Hidrogênio - Sol. Angular

Para solucionar a EDO para a parte polar devemos aplicar a substituição de variáveis $w = \cos \theta$ o que explicita a equação como sendo a EDO associada de Legendre

$$\frac{d}{dw} \left((1 - w^2) \frac{dP}{dw} \right) + \left[\lambda^2 - \frac{m^2}{1 - w^2} \right] P = 0$$

que é a equação diferencial da função associada de Legendre, a qual, utilizando a relação de Rodriguez

$$P_l^m(w) = (-1)^m (1 - w^2)^{\frac{m}{2}} \frac{d^m P_l}{dw^m}$$

nos leva à equação de Legendre, que tem por solução

$$P_l(w) = \left(a_0 \sum_{k=0}^{\infty} \frac{a_{2k}}{a_0} w^{2k} + a_1 \sum_{k=1}^{\infty} \frac{a_{2k+1}}{a_1} w^{2k+1} \right)$$

onde a relação de recorrência

$$\frac{a_{k+2}}{a_k} = \frac{(k+m)(k+m+1) - \lambda^2}{(k+1)(k+2)}$$

nos leva a concluir que a série não converge o que força a estabelecer um corte exigindo que $(k+m)(k+m+1) - \lambda^2 = 0$, e se definimos $l \equiv k+m$, resulta em

$$\lambda = l(l+1)$$

Com isto, P_l resulta em um polinômio de ordem l já que $k = l - m$, isso exige que como $k \geq 0$, então $m \leq l$. Como na relação de Rodriguez tratamos com derivadas então m deve ser positivos, então

$$|m| \leq l \Rightarrow -l \leq m \leq l$$

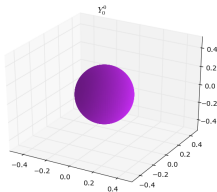
de forma que m pode assumir os valores $-l, -l+1, \dots, -1, 0, 1, \dots, l-1, l$

Átomo de Hidrogênio - Sol. Angular

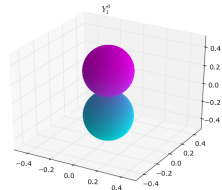
Reunindo os resultados anteriores e calculando a condição de normalização obtemos

$$Y_{lm}(\theta, \phi) = \sqrt{\frac{2(l+|m|)!}{(l-|m|)!(2l+1)}} P_l^m(\cos \theta) \exp(im\phi)$$

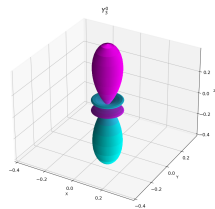
Estas funções são chamadas de harmônicos esféricos; são funções ortonormalizadas de forma que podem expressar estados diferentes da função de onda



$$Y_{0,0}(\theta, \phi) = \frac{1}{2\sqrt{\pi}}$$



$$Y_{1,0}(\theta, \phi) = \frac{\sqrt{3}}{2\sqrt{\pi}} \cos \theta$$



$$Y_{3,0}(\theta, \phi) = \frac{\sqrt{7}(5 \cos^2(\theta) - 3) \cos(\theta)}{4\sqrt{\pi}}$$

Átomo de Hidrogênio - Sol. Radial

A EDP de Schrödinger para o átomo de hidrogênio em coordenadas esféricas é

$$\left[\frac{1}{r^2} \frac{\partial}{\partial r} \left(r^2 \frac{\partial}{\partial r} \right) + \frac{1}{r^2 \sin^2 \theta} \frac{\partial^2}{\partial \phi^2} + \frac{1}{r^2 \sin \theta} \frac{\partial}{\partial \theta} \left(\sin \theta \frac{\partial}{\partial \theta} \right) \right] R(r) Y(\theta, \phi) + \frac{2m}{\hbar^2} \left(E + \frac{q^2}{r} \right) R(r) Y(\theta, \phi) = 0$$

$$Y(\theta, \phi) \left[\frac{1}{r^2} \frac{\partial}{\partial r} \left(r^2 \frac{\partial}{\partial r} \right) \right] R(r) + L^2 R(r) Y(\theta, \phi) + Y(\theta, \phi) \frac{2m}{\hbar^2} \left(E + \frac{q^2}{r} \right) R(r) = 0$$

$$Y(\theta, \phi) \left[\frac{1}{r^2} \frac{\partial}{\partial r} \left(r^2 \frac{\partial}{\partial r} \right) \right] R(r) - \left[\frac{l(l+1)}{r^2} \right] Y(\theta, \phi) R(r) + Y(\theta, \phi) \frac{2m}{\hbar^2} \left(E + \frac{q^2}{r} \right) R(r) = 0$$
$$- \frac{\hbar^2}{2m} \left[\frac{1}{r^2} \frac{\partial}{\partial r} \left(r^2 \frac{\partial}{\partial r} \right) \right] R(r) + \left[\frac{\hbar^2}{2m} \frac{l(l+1)}{r^2} - \frac{q^2}{r} \right] R(r) = E R(r)$$

se supomos que, $u(r) \equiv r R$, e substituímos na EDP, chegamos

$$- \frac{\hbar^2}{2m} \frac{d^2 u}{dr^2} + \left[\frac{\hbar^2}{2m} \frac{l(l+1)}{r^2} - \frac{q^2}{r} \right] u = E u$$

que é nossa EDO radial

Átomo de Hidrogênio - Sol. Radial

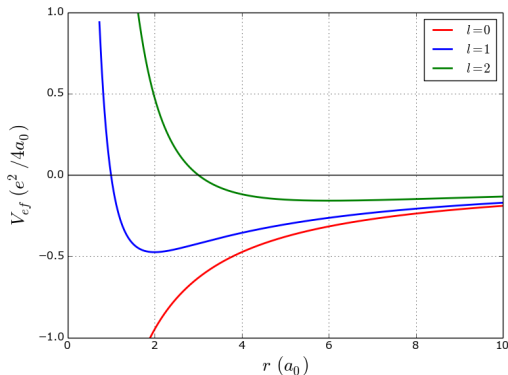
Admitamos que

$$V_{\text{ef}} \equiv \frac{\hbar^2}{2m} \frac{l(l+1)}{r^2} - \frac{q^2}{r}$$

onde

$$\frac{\hbar^2}{2m} = 6,104263784201592 \times 10^{-39} \text{ J m}^2$$

$$\frac{q^2}{r} = 2,307077352370616 \times 10^{-28} \text{ J m}$$



Analisando o comportamento assintótico como sol. a EDO radial obtemos

$$u_{r \rightarrow \infty} = A_2 e^{\lambda r} + B_2 e^{-\lambda r}$$

onde

$$\lambda = \frac{\sqrt{2mE}}{\hbar}$$

Átomo de Hidrogênio - Sol. Radial

Como solução geral para a EDO radial propomos uma solução por séries finita (N termos)

$$u(r) = r^{l+1} e^{-\lambda r} \sum_{k=0}^N A_k r^k$$

e para facilitar os cálculos propõe-se a mudança de variável

$$u(r) = r^{l+1} f(r) e^{-\lambda r}$$

que altera a EDO para

$$\frac{d^2 f}{dr^2} + 2 \left[\frac{(l+1)}{r} - \lambda \right] \frac{df}{dr} + \frac{2}{r} \left[-\lambda(l+1) + \frac{q^2 m}{\hbar^2} \right] f = 0$$

onde usamos que $E = -\frac{\hbar^2}{2m} \lambda^2$. A série solução resulta na relação de recorrência

$$\frac{A_k}{A_{k-1}} = 2 \left[\frac{\lambda(k+l) - \frac{q^2 m}{\hbar^2}}{k(k+2l+1)} \right]$$

Como a série deve ser zero desde o termo $N+1$

$$\lambda(N+1+l) - \frac{q^2 m}{\hbar^2} = 0$$

$$\lambda = \frac{q^2 m}{\hbar^2 (N+1+l)}$$

$$\frac{\sqrt{2mE}}{\hbar} = -\frac{q^2 m}{\hbar^2 (k+l)}$$

$$E = -\frac{q^4 m}{2\hbar^2 (N+1+l)}$$

Se $n = N + l + 1$, e então

$$E_n = -\frac{q^4 m^2}{2n^2 \hbar^4} = -\left(\frac{q^2}{2a_0} \right) \frac{1}{n^2}$$

onde n é o número quântico principal e N o número quântico radial. Como N é um número inteiro e l é o número quântico do momento angular

$$l \leq n - 1$$

Átomo de Hidrogênio - Sol. Radial

Substituindo os resultados obtidos na EDO original

$$\frac{d^2 f}{dr^2} + 2 \left[\frac{(l+1)}{r} - \lambda \right] \frac{df}{dr} + \frac{2}{r} [-\lambda(l+1) + n\lambda] f = 0$$

mudando de variável $\rho = 2\lambda r$, resulta em

$$\rho \frac{d^2 g}{d\rho^2} + [(2l+1) + 1 - \rho] \frac{dg}{d\rho} + [(n+l) - (2l+l)] g = 0$$

Que é a EDO de Laguerre com solução dada por

$$L_q^p(x) = \sum_{k=0}^{q-p} \frac{(-1)^k (q!)^2 x^k}{(p-q-k)! (p+k)! k!}$$

sendo assim, podemos retornar a nossas variáveis originais e aplicada as condições de normalização, o qual resulta

$$R_{nl} = - \left(\frac{2}{na_0} \right)^{3/2} \sqrt{\frac{2n[(n+l)!]^3}{(n-l-1)!}} \left(\frac{2r}{na_0} \right)^l \exp \left(-\frac{r}{na_0} \right) L_{n+l}^{2l+1} \left(\frac{2r}{na_0} \right)$$

Átomo de Hidrogênio - Sol. Radial

$$R_{1,0} = 2a_0^{-3/2} e^{-\frac{r}{a_0}}$$

$$R_{2,0} = \frac{\sqrt{2}}{4a_0^{3/2}} \left(2 - \frac{r}{a_0} \right) e^{-\frac{r}{2a_0}}$$

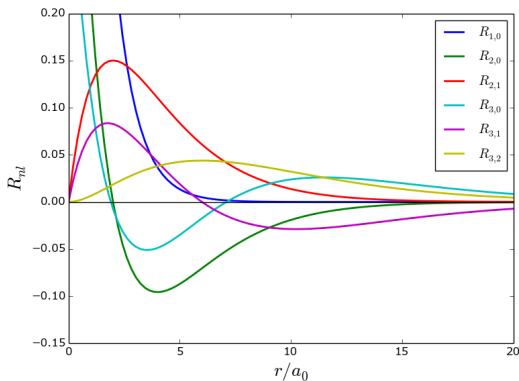
$$R_{2,1} = \frac{\sqrt{6}r}{12a_0^{5/2}} e^{-\frac{r}{2a_0}}$$

$$R_{3,0} = \frac{2\sqrt{3}}{27a_0^{3/2}} \left(\frac{2r^2}{9a_0^2} - \frac{2r}{a_0} + 3 \right) e^{-\frac{r}{3a_0}}$$

$$R_{3,1} = \frac{\sqrt{6}r}{81a_0^{3/2}} \left(-\frac{2r}{3a_0^2} + 4 \right) e^{-\frac{r}{3a_0}}$$

$$R_{3,2} = \frac{2\sqrt{30}}{1215} \frac{r^2}{a_0^{7/2}} e^{-\frac{r}{3a_0}}$$

$$R_{4,0} = a_0^{-3/2} \left(-\frac{r^3}{768a_0^3} + \frac{r^2}{32a_0^2} - \frac{3r}{16a_0} + \frac{1}{4} \right) e^{-\frac{r}{4a_0}}$$



Átomo de Hidrogênio - Resumo

Finalmente, a função de onda total é dada por

$$\psi_{nlm_l}(r, \theta, \phi) = R_{nl} Y_{lm_l}(\theta, \phi)$$

- A energia de qualquer nível é dada por

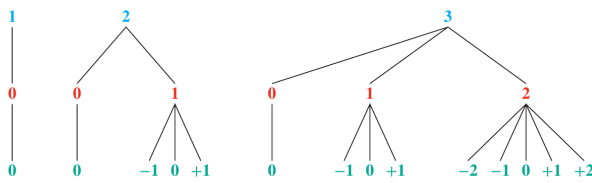
$$E_n = - \left(\frac{q^2}{2a_0} \right) \frac{1}{n^2}, \quad a_0 = \frac{4\pi\epsilon_0 \hbar^2}{m e^2} = \frac{\hbar^2}{q^2 m}$$

- Os níveis de energia são **degenerados** em relação a l , e cada um desse nível subníveis ou subcamadas, como também chamados, historicamente recebem a seguinte notação

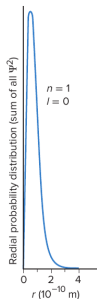
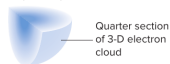
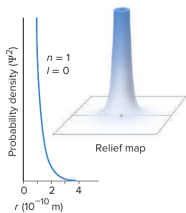
l	0	1	2	3	4	5	6	...
notação	s	p	d	f	g	h	i	...

Átomo de Hidrogênio - Resumo

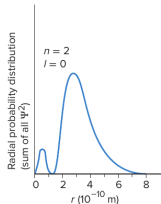
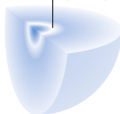
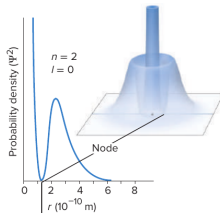
Table 7.2 | The Hierarchy of Quantum Numbers for Atomic Orbitals

Name, Symbol (Property)	Allowed Values	Quantum Numbers
Principal, n (size, energy)	Positive integer (1, 2, 3, ...)	
Angular momentum, l (shape)	0 to $n - 1$	
Magnetic, m_l (orientation)	$-l, \dots, 0, \dots, +l$	

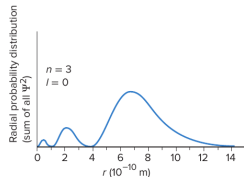
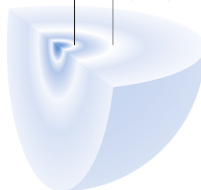
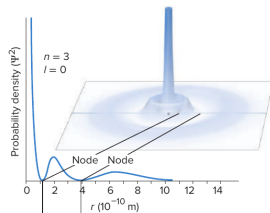
Átomo de Hidrogênio



A 1s orbital

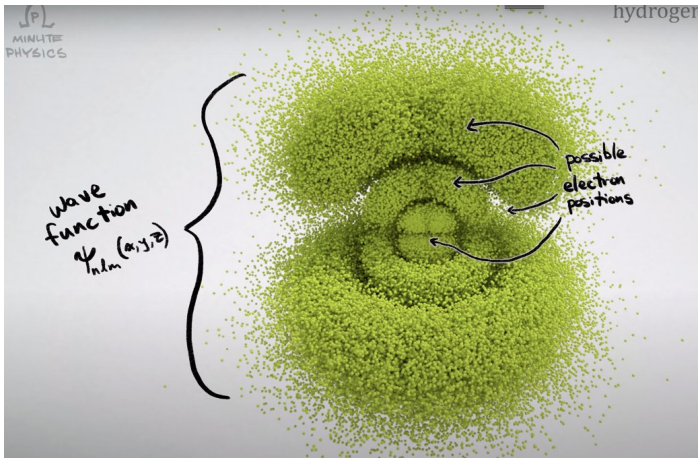


B 2s orbital



C 3s orbital

Átomo de Hidrogênio



Simulação do átomo de hidrogênio em base a teoria de De Broglie - Bohm

Momento angular

Classicamente o momento angular está definido como

$$\mathbf{L} = \mathbf{r} \times \mathbf{p}$$

$$= \begin{vmatrix} \mathbf{i} & \mathbf{j} & \mathbf{k} \\ x & y & z \\ p_x & p_y & p_z \end{vmatrix}$$

$$= (yp_z - zp_y) \mathbf{i} + (zp_x - xp_z) \mathbf{j} + (xp_y - yp_x) \mathbf{k}$$

$$= L_x \mathbf{i} + L_y \mathbf{j} + L_z \mathbf{k}$$

utilizando o fato de que em quântica $\mathbf{p} = -i\hbar\nabla$ podemos esperar que par quântica

$$L_x = -i\hbar \left(y \frac{\partial}{\partial z} - z \frac{\partial}{\partial y} \right)$$

$$L_y = -i\hbar \left(z \frac{\partial}{\partial x} - x \frac{\partial}{\partial z} \right)$$

$$L_z = -i\hbar \left(x \frac{\partial}{\partial y} - y \frac{\partial}{\partial x} \right)$$

passando para coordenadas esféricas

$$L_x = i\hbar \left(\sin \phi \frac{\partial}{\partial \theta} + \cos \phi \cot \theta \frac{\partial}{\partial \phi} \right)$$

$$L_y = i\hbar \left(-\cos \phi \frac{\partial}{\partial \theta} + \sin \phi \cot \theta \frac{\partial}{\partial \phi} \right)$$

$$L_z = -i\hbar \frac{\partial}{\partial \phi}$$

de forma que podemos escrever (utilizando algumas identidades trigonométricas)

$$L^2 = -\hbar^2 \left(\frac{1}{\sin \theta} \frac{\partial}{\partial \theta} \sin \theta \frac{\partial}{\partial \theta} + \frac{1}{\sin^2 \theta} \frac{\partial^2}{\partial \phi^2} \right)$$

equação que é igual à EDP da parte angular do átomo de hidrogênio, dessa análise podemos escrever

$$L^2 Y = -\hbar^2 \left(\frac{1}{\sin \theta} \frac{\partial}{\partial \theta} \sin \theta \frac{\partial}{\partial \theta} + \frac{1}{\sin^2 \theta} \frac{\partial^2}{\partial \phi^2} \right) Y$$

$$L^2 Y = -\hbar^2 \lambda^2 Y$$

$$L^2 Y = l(l+1) \hbar Y$$

Teoria da medida

A relação de dispersão em torno do valor medido é definido como

$$(\Delta \hat{A})^2 = \langle \hat{A}^2 \rangle - \langle \hat{A} \rangle^2$$

Se escolhermos um sistema no qual $\langle \hat{A} \rangle = 0$, então

$$(\Delta \hat{A})^2 = \langle \hat{A}^2 \rangle = \int \psi^* \hat{A}^2 \psi dx = \langle \psi | \hat{A}^2 | \psi \rangle$$

o qual será verdade para operador \hat{B} . Usando a relação de Cauchy-Schwartz:

$$\langle \psi | \hat{A} \hat{A} | \psi \rangle \langle \psi | \hat{B} \hat{B} | \psi \rangle \geq |\langle \psi | \hat{A} \hat{B} | \psi \rangle|^2$$

do qual

$$(\Delta \hat{A})^2 (\Delta \hat{B})^2 \geq |\langle \psi | \hat{A} \hat{B} | \psi \rangle|^2$$

Agora, podemos reduzir o termo à direita

$$\begin{aligned} |\langle \psi | \hat{A} \hat{B} | \psi \rangle| &\geq |Im[\langle \psi | \hat{A} \hat{B} | \psi \rangle]| \\ &\geq \left| \frac{1}{2i} [\langle \psi | \hat{A} \hat{B} | \psi \rangle - \langle \psi | \hat{A} \hat{B} | \psi \rangle^*] \right| \end{aligned}$$

já que o módulo de um número complexo é maior que sua parte imaginária. Além disso,

$$f = Re(f) + iIm(f) \Rightarrow Im(f) = \frac{1}{2i}(f - f^*)$$

Como \hat{A} e \hat{B} são observáveis então

$$\langle \psi | \hat{A} \hat{B} | \psi \rangle^* = \langle \psi | (\hat{A} \hat{B})^\dagger | \psi \rangle = \langle \psi | (\hat{B} \hat{A}) | \psi \rangle$$

finalmente, utilizando este resultado podemos reescrever a inequação como

$$\begin{aligned} (\Delta \hat{A})^2 (\Delta \hat{B})^2 &\geq \left| \frac{1}{2i} [\langle \psi | \hat{A} \hat{B} | \psi \rangle - \langle \psi | \hat{B} \hat{A} | \psi \rangle] \right| \\ &\geq \left| \frac{1}{2i} [\langle \hat{A} \hat{B} \rangle - \langle \hat{B} \hat{A} \rangle] \right| \\ &\geq \left| \frac{1}{2i} \langle [\hat{A}, \hat{B}] \rangle \right| \end{aligned}$$

de forma que a relação de dispersão para qualquer par de operadores hermitiano está relacionado com seu comutador via

$$(\Delta \hat{A})^2 (\Delta \hat{B})^2 \geq \left| \frac{1}{2i} \langle [\hat{A}, \hat{B}] \rangle \right|$$

ou seja, se dois operadores comutam então podem ser medidos simultaneamente com precisão absoluta, caso não comutem a precisão da medida tem uma cota superior

Momento angular

As componentes do momento angular não comutam entre sim

$$[x_i, p_j] = i\hbar\delta_{ij}$$

$$[L_x, L_y] = [(yp_z - zp_y), (zp_x - xp_z)]$$

$$= [yp_z, zp_x] - [yp_z, xp_z] - [zp_y, zp_x] + [zp_y, xp_z]$$

como

$$[yp_z, xp_z] = [y, x] p_z = 0$$

$$[zp_y, zp_x] = z [p_y, p_x] = 0$$

$$[yp_z, zp_x] = yp_z zp_x - zp_x yp_z$$

$$= yp_z p_x z - zy p_x p_z$$

$$= yp_x p_z z - yz p_x p_z$$

$$= yp_x p_z z - yp_x zp_x$$

$$= yp_x (p_z z - zp_x)$$

$$= yp_x [p_z, z]$$

$$= -i\hbar yp_x$$

então

$$\begin{aligned}[L_x, L_y] &= i\hbar (xp_y - yp_x) \\ &= iL_z\end{aligned}$$

da mesma forma

$$[L_y, L_z] = iL_x$$

$$[L_z, L_x] = iL_y$$

Por outro lado, é possível verificar

$$\begin{aligned}[L^2, L_z] &= [L_x^2, L_z] + [L_y^2, L_z] \\ &\quad + [L_z^2, L_z]\end{aligned}$$

de forma que os harmônicos esféricos que são autofunções de L^2 também são autofunções de L_z . Por definição

$$L_z = -i\hbar \frac{\partial}{\partial \phi}$$

$$L_z^2 = -\hbar^2 \frac{\partial^2}{\partial \phi^2}$$

$$L_z^2 \Phi = -\hbar^2 \frac{\partial^2 \Phi}{\partial \phi^2}$$